

---

# ADAPTIVE SYSTEMS

---

## Assignment 2

Autor: Ebner Thomas (0831246), Nöhmer Stefan (0830668)  
Datum: Graz, 15. Dezember 2011  
Version.: alpha 1.0

# 1 MATLAB Problem 2.1

In den Abbildungen 1.1 bis 1.3 sind die Filterkoeffizienten des Adaptiven Filters dargestellt. Beim rauschfreien Fall in Abbildung 1.1 erkennt man, dass der Adaptive Filter die Koeffizienten des unbekannten Systems sehr schnell annähert. Da kein Rauschen hinzugefügt wird, werden diese Koeffizienten sehr gut angehähert.

In den Abbiludungen 1.2 und 1.3 ist sehr gut der Unterschied zwischen NLMS und LMS zu erkennen.

Beim LMS nähern sich die Koeffizienten etwas schneller als beim NLMS an. Der Grund hierfür ist, dass beim NLMS  $\mu$  durch die Norm des tapped input Vektors angepasst wird. Bei einer Varianz des Eingangssignals (white noise) von 1 und einer Filterordnung von 4, wird  $\mu$  im Mittel durch 4 dividiert.

Durch das kleinere effektive  $\mu$  nähert sich der NLMS etwas langsamer den Koeffizienten an. Allerdings ist durch das kleinere  $\mu$  der Excess-Error kleiner (siehe Vorlesung vom 18.11). Somit enthalten die Koeffizienten weniger Fluktuation (weniger Rauschen). Die Abbildungen 1.2 und 1.3 spiegeln sehr gut die geschilderten zusammenhänge wider.

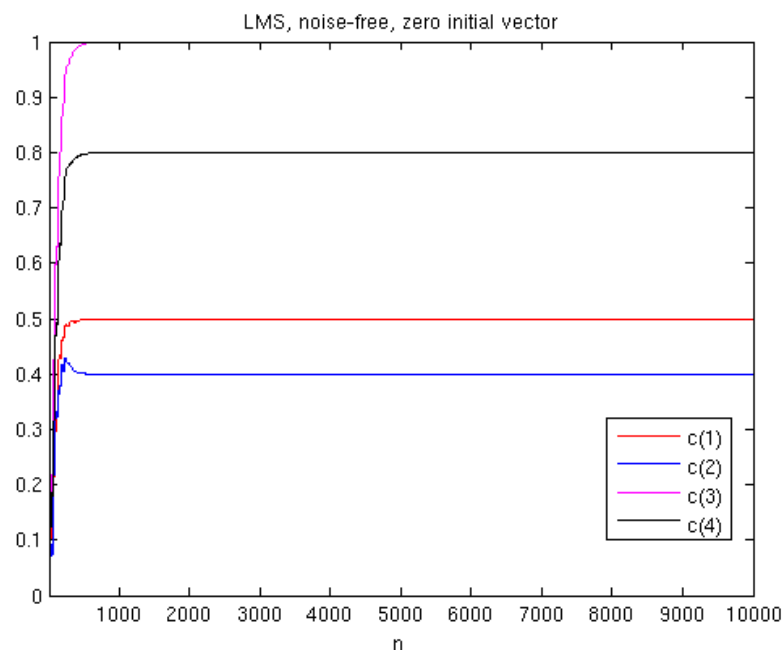


Abbildung 1.1: LMS,  $\mu = 0.01$ , zero-mean white noise input signal with unit variance

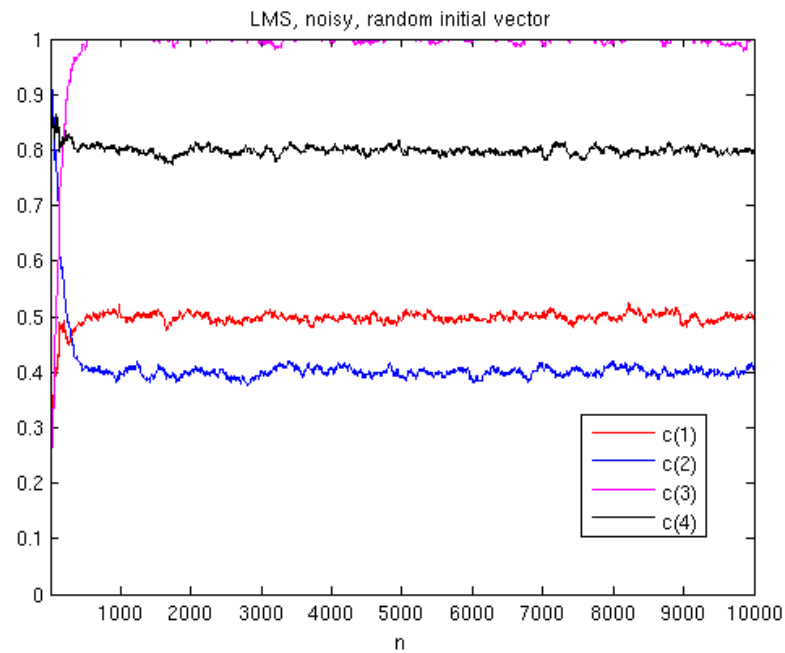


Abbildung 1.2: LMS,  $\mu = 0.01$ , zero-mean white noise input signal with unit variance, and additional white noise

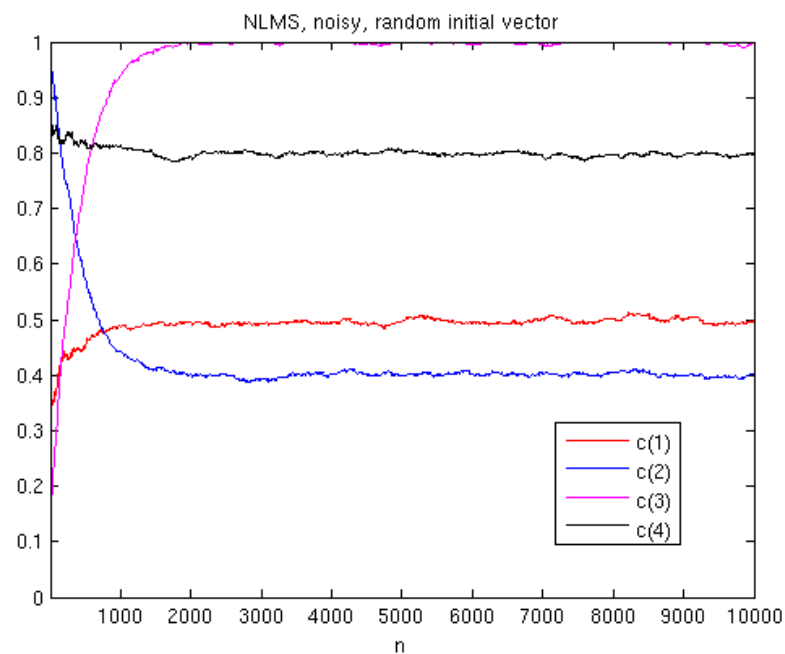


Abbildung 1.3: NLMS,  $\mu = 0.01$ , zero-mean white noise input signal with unit variance, and additional white noise

## 2 Analytic Problem 1.2

**a)** Wie in der Übung am 25.10.2011 hergeleitet kann die Kostenfunktion wie folgt angeschrieben werden:

$$J(\mathbf{c}) = \sigma_v^2 - 2\mathbf{c}^T \mathbf{p} + \mathbf{c}^T \mathbf{R}_{xx} \mathbf{c} \quad (2.1)$$

Die Gleichung 2.1 kann wie folgt umformuliert werden:

$$J(\mathbf{c}) = \sigma_v^2 - \mathbf{p}^T \mathbf{R}_{xx}^{-1} \mathbf{p} + (\mathbf{c} - \mathbf{R}_{xx}^{-1} \mathbf{p})^T \mathbf{R}_{xx} (\mathbf{c} - \mathbf{R}_{xx}^{-1} \mathbf{p}) \quad (2.2)$$

Beweis: Durch Ausmultiplizieren der Klammern gelangt man wieder auf die Gleichung 2.1:

$$J(\mathbf{c}) = \sigma_v^2 - \mathbf{p}^T \mathbf{R}_{xx}^{-1} \mathbf{p} + (\mathbf{c}^T - \mathbf{p}^T \mathbf{R}_{xx}^{-1}) (\mathbf{R}_{xx} \mathbf{c} - \mathbf{R}_{xx} \mathbf{R}_{xx}^{-1} \mathbf{p}) \quad (2.3)$$

$$= \sigma_v^2 - \mathbf{p}^T \mathbf{R}_{xx}^{-1} \mathbf{p} + \mathbf{c}^T \mathbf{R}_{xx} \mathbf{c} - \mathbf{p}^T \mathbf{R}_{xx}^{-1} \mathbf{R}_{xx} \mathbf{c} - \mathbf{c}^T \mathbf{p} + \mathbf{p}^T \mathbf{R}_{xx}^{-1} \mathbf{p} \quad (2.4)$$

$$= \sigma_v^2 + \mathbf{c}^T \mathbf{R}_{xx} \mathbf{c} - \mathbf{p}^T \mathbf{c} - \mathbf{c}^T \mathbf{p} \quad (2.5)$$

$$= \sigma_v^2 + \mathbf{c}^T \mathbf{R}_{xx} \mathbf{c} - 2\mathbf{c}^T \mathbf{p} \quad (2.6)$$

In der Gleichung 2.2 kommt der Ausdruck  $\mathbf{c} - \mathbf{R}_{xx}^{-1} \mathbf{p}$  vor. Dieser Ausdruck entspricht genau dem Misalignment-Vektor, da  $\mathbf{R}_{xx}^{-1} \mathbf{p}$  der Wiener Hopf-Solution entspricht und somit die optimale Lösung darstellt.

Somit kann die Kostenfunktion in Abhängigkeit von  $\mathbf{v}$  (Misalignment-Vektor) ausgedrückt werden:

$$J(\mathbf{c}) = \sigma_v^2 - \mathbf{p}^T \mathbf{R}_{xx}^{-1} \mathbf{p} + \mathbf{v}^T \mathbf{R}_{xx} \mathbf{v} \quad (2.7)$$

Anhand dieser Gleichung erkennt man, dass der vordere Teil  $(\sigma_v^2 - \mathbf{p}^T \mathbf{R}_{xx}^{-1} \mathbf{p})$  unabhängig vom Misalignment-Vektor ist und somit das Minimum der Kostenfunktion ( $J_{min}$ ) darstellt.

**b)** Die Autokorrelationsmatrix  $\mathbf{R}_{xx}$  kann mittels der Eigenwerte/Eigenvektoren wie folgt zerlegt werden:

$$\mathbf{R}_{xx} = \mathbf{Q} \mathbf{\Delta} \mathbf{Q}^T \quad (2.8)$$

Wobei die Matrix  $\mathbf{\Delta}$  eine Diagonalmatrix ist, welche die Eigenwerte von  $\mathbf{R}_{xx}$  enthält. Die Matrix  $\mathbf{Q}$  enthält alle Eigenvektoren.

Diese Beziehung kann in die Gleichung 2.7 eingesetzt werden und man erhält:

$$J(\mathbf{c}) = J_{min} + \mathbf{v}^T \mathbf{Q} \mathbf{\Delta} \mathbf{Q}^T \mathbf{v} \quad (2.9)$$

Fügt man nun noch folgende Substitution ein:  $\tilde{\mathbf{v}} = \mathbf{Q}^T \mathbf{v}$ , so erhält man eine Gleichung für die Kostenfunktion bei der die einzelnen Komponenten von  $\tilde{\mathbf{v}}$  entkoppelt sind:

$$J(\mathbf{c}) = J_{min} + \tilde{\mathbf{v}}^T \mathbf{\Delta} \tilde{\mathbf{v}} \quad (2.10)$$

Die Gleichung 2.10 in Matrixschreibweise kann nun wie folgt in eine Summe umgeschrieben werden:

$$J(\mathbf{c}) = J_{min} + \sum_{k=1}^N \tilde{v}_k^2 \lambda_k \quad (2.11)$$

**c)** Wie in der Übung vom 22.11.2011 gezeigt wurde, verhalten sich die einzelnen Komponenten von  $\tilde{\mathbf{v}}$  wie folgt:

$$\tilde{v}_k[n] = (1 - \mu \lambda_k)^n \tilde{v}_k[0] = \tilde{v}_k[0] e^{-n/\tau_k} \quad (2.12)$$

Diese Gleichung in Gleichung 2.11 eingesetzt ergibt:

$$J(\mathbf{c}) = J_{min} + \sum_{k=1}^N \tilde{v}_k^2[0] \lambda_k e^{-2n/\tau_k} \quad (2.13)$$

**d)** Die Zeitkonstanten können aus der Gleichung 2.12 ermittelt werden: Daraus ergibt sich für  $\tau_k$  (wie auch in der Übung bereits hergeleitet) folgendes:

$$\tau_k = \frac{-1}{\log|1 - \mu \lambda_k|} \approx \frac{1}{\mu \lambda_k} \quad (2.14)$$

$$J(\mathbf{c}) = J_{min} + \sum_{k=1}^N \tilde{v}_k^2[0] \lambda_k e^{-2n\mu \lambda_k} \quad (2.15)$$

**e)** White noise with unit variance  $\Rightarrow R_{xx} = \mathbf{I}$ . Die Eigenwerte einer Diagonalmatrix entsprechen genau den Werten in der Diagonale. Somit sind beide Eigenwerte = 1. Die Eigenvektoren sind  $[10]^T$  und  $[01]^T$ . Die Eigenvektoren in die Matrix  $\mathbf{Q}$  eingetragen ergibt:

$$\mathbf{Q}^T = \mathbf{Q} = \begin{pmatrix} 1 & 0 \\ 0 & 1 \end{pmatrix} \quad (2.16)$$

$$\tilde{\mathbf{v}}[0] = \mathbf{Q}^T \mathbf{v}[0] = \begin{pmatrix} -2 \\ -1 \end{pmatrix} \quad (2.17)$$

Diese Werte in die Gleichung für die Kostenfunktion eingesetzt ergibt:

$$J(\mathbf{c}) = J_{min} + 4e^{-2n\mu} + e^{-2n\mu} \quad (2.18)$$

### 3 MATLAB Problem 2.3

a) In den Plots ist deutlich ersichtlich, dass  $\mu$  direkt in die Zeitkonstanten, also in die Konvergenzgeschwindigkeit einfließt. Im Falle von zero-mean White-Noise sind alle Eigenwerte der Autokorrelationsmatrix 1. Somit ergeben sich die Zeitkonstanten theoretisch:  $\approx \frac{1}{\mu\lambda_k} = \frac{1}{\mu}$ . Diese Formel stimmte auch sehr gut mit den aus den Plots ermittelten Werten für  $\tau_k$  überein. Wie in der Abbildung 3.4 zu sehen, ist der Algorithmus bei  $\mu = 1$  im Falle des LMS instabil. Der Misalignmentvector divergiert und der MSE wird immer größer. Beim NLMS und  $\mu = 1$  ist keine deutliche Konvergenz des Misalignmentvectors ersichtlich. Der Misalignmentvector divergiert allerdings auch nicht so wie beim LMS(ohne Normalisierung). Der Grund hierfür ist, dass  $\mu$  durch  $\mathbf{x}[n]$  dividiert wird und somit etwas kleiner ist.  $\mu$  ist aber dennoch zu groß um die Koeffizienten vernünftig anzunähern.

Für ein größeres  $\mu$  konvergiert der MSE wesentlich schneller gegen sein Minimum, allerdings ist auch der Excess-Error etwas größer.

Beim NLMS wird  $\mu$  durch  $|\mathbf{x}[n]|^2$  dividiert. Bei einer Varianz von 1 und einer Filterordnung  $N = 3$  ist der tapped input Vektor  $\mathbf{x}[n]$  3 Elemente groß. Somit ergibt sich ein Erwartungswert für  $\mathbf{x}[n]$  von 3. Aus diesem Grund sind die Zeitkonstanten für diese Eingangsvarianz um den Faktor 3 größer. Der entscheidende Vorteil beim LMS ist jetzt, dass die Konvergenzgeschwindigkeit nicht mehr von der Eingangsvarianz abhängt. Diese ist im nächsten Abschnitt zu sehen.

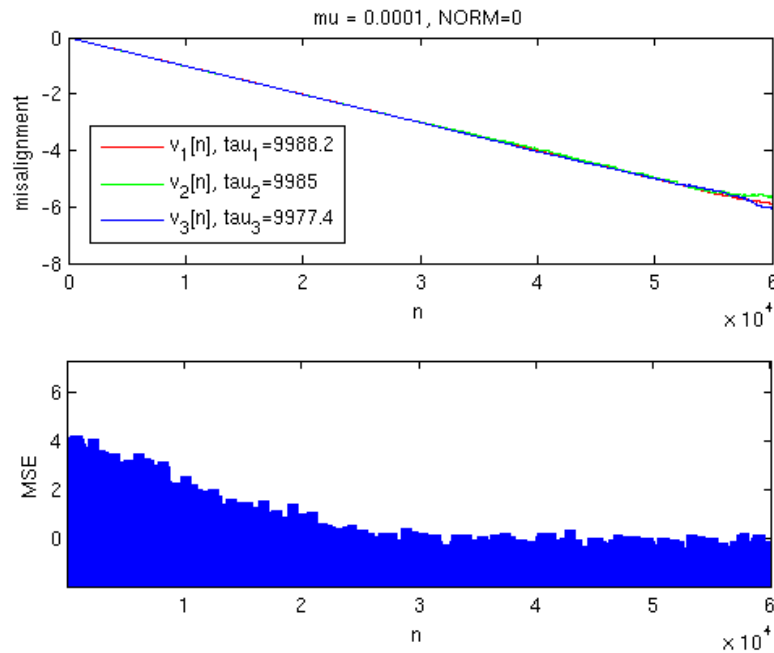
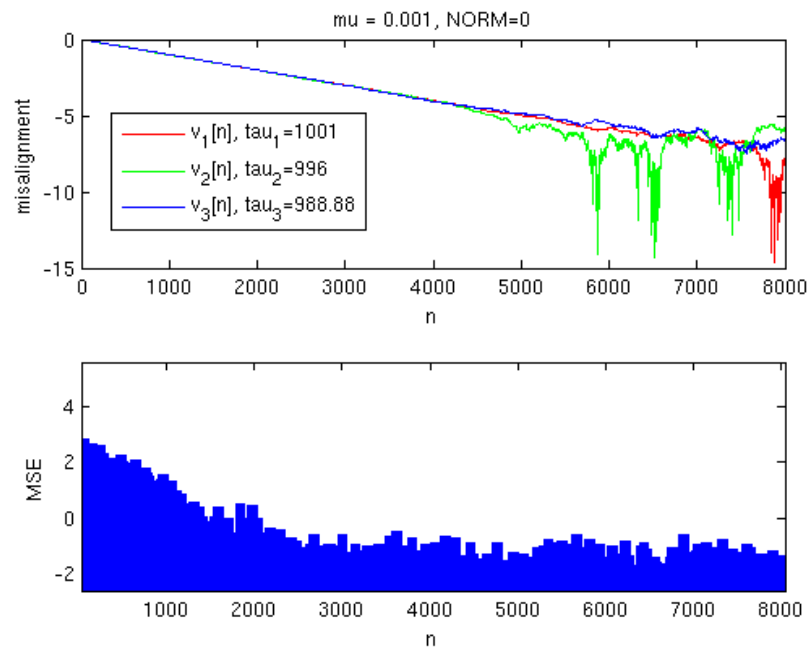
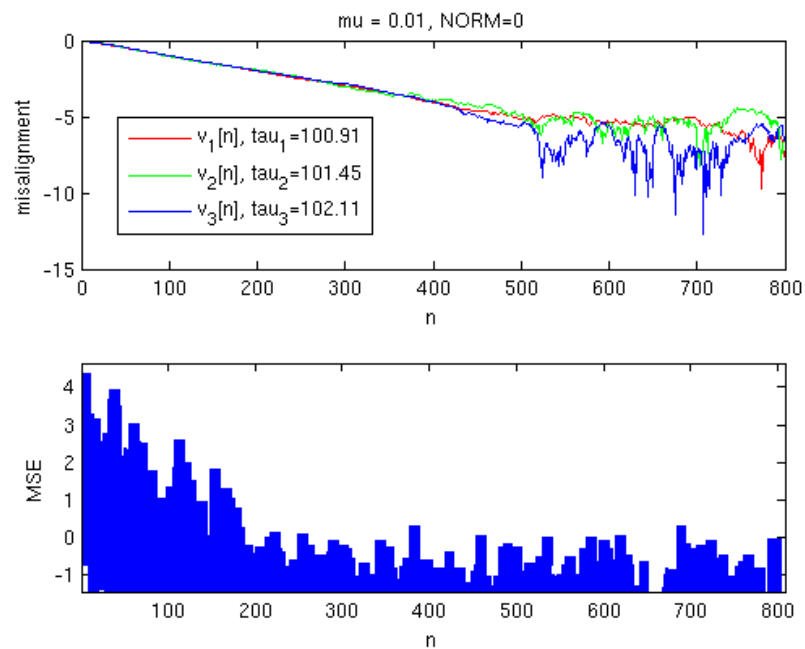
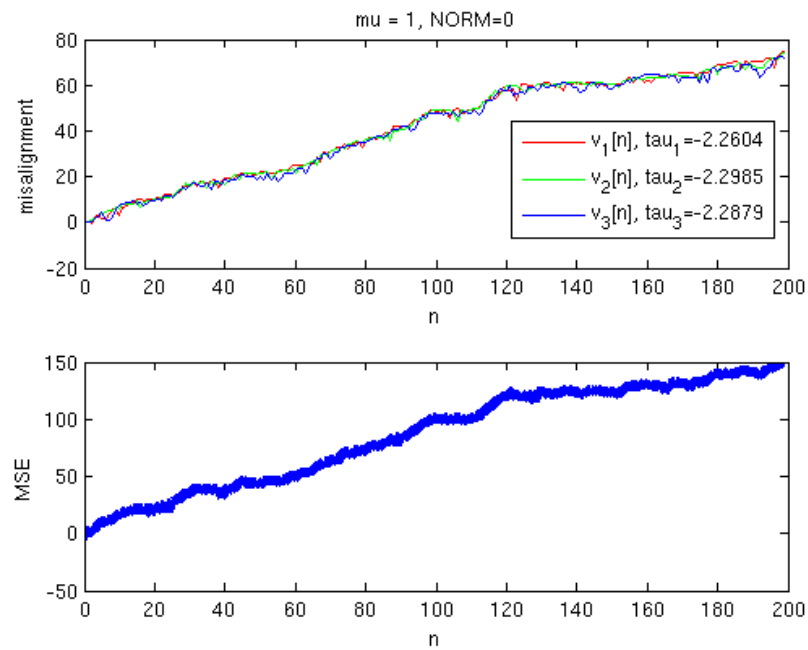
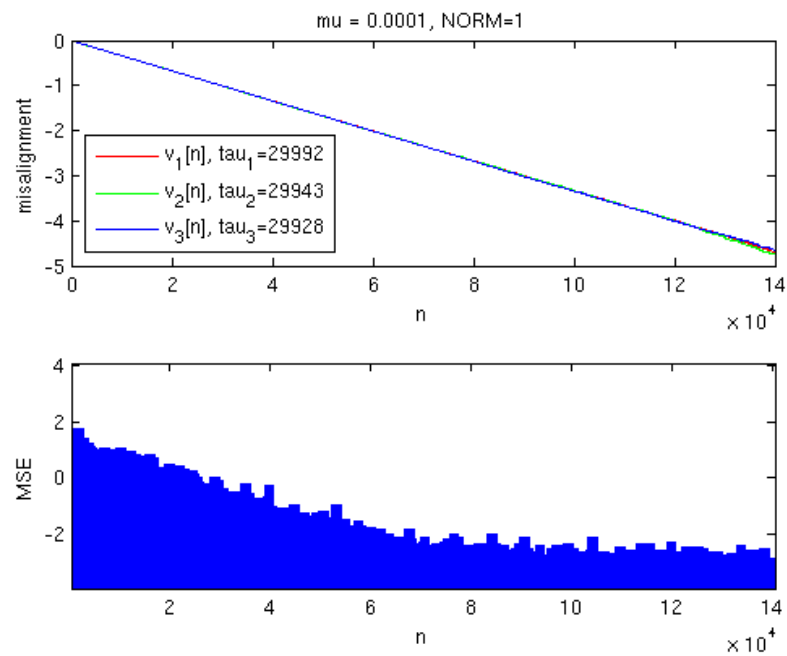
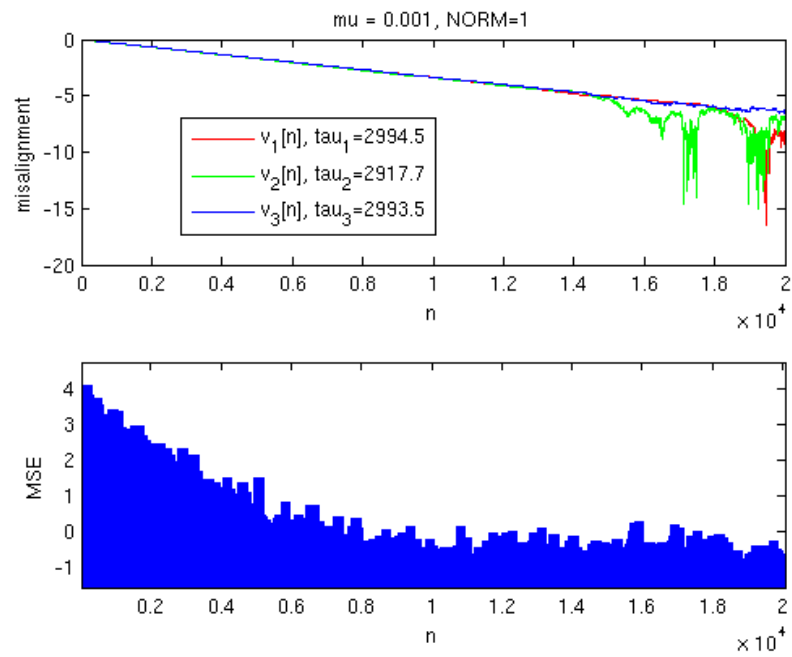
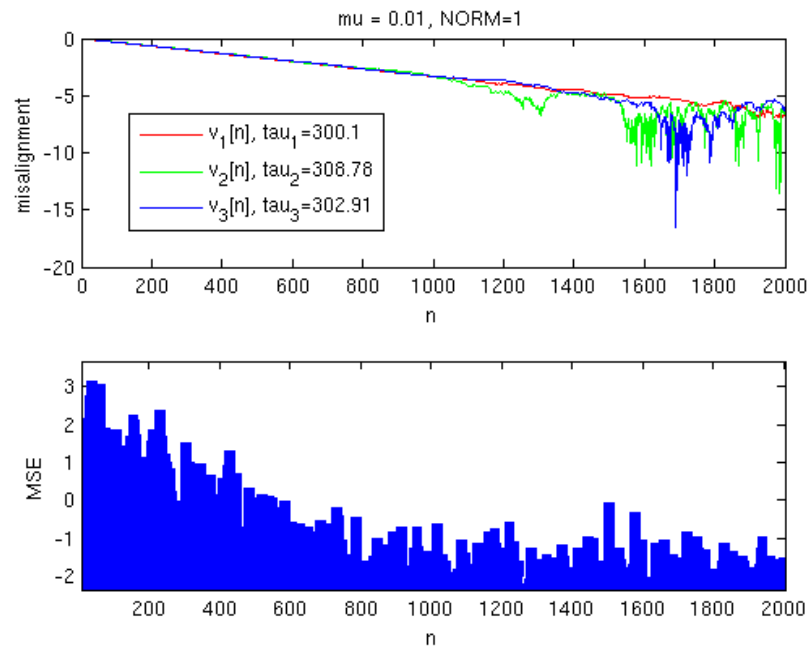


Abbildung 3.1: LMS,  $\mu = 0.0001$ , zero-mean unit variance white noise input

Abbildung 3.2: LMS,  $\mu = 0.001$ , zero-mean unit variance white noise inputAbbildung 3.3: LMS,  $\mu = 0.01$ , zero-mean unit variance white noise input

Abbildung 3.4: LMS,  $\mu = 1$ , zero-mean unit variance white noise inputAbbildung 3.5: NLMS,  $\mu = 0.0001$ , zero-mean unit variance white noise input



Abbildung 3.6: NLMS,  $\mu = 0.001$ , zero-mean unit variance white noise inputAbbildung 3.7: NLMS,  $\mu = 0.01$ , zero-mean unit variance white noise input

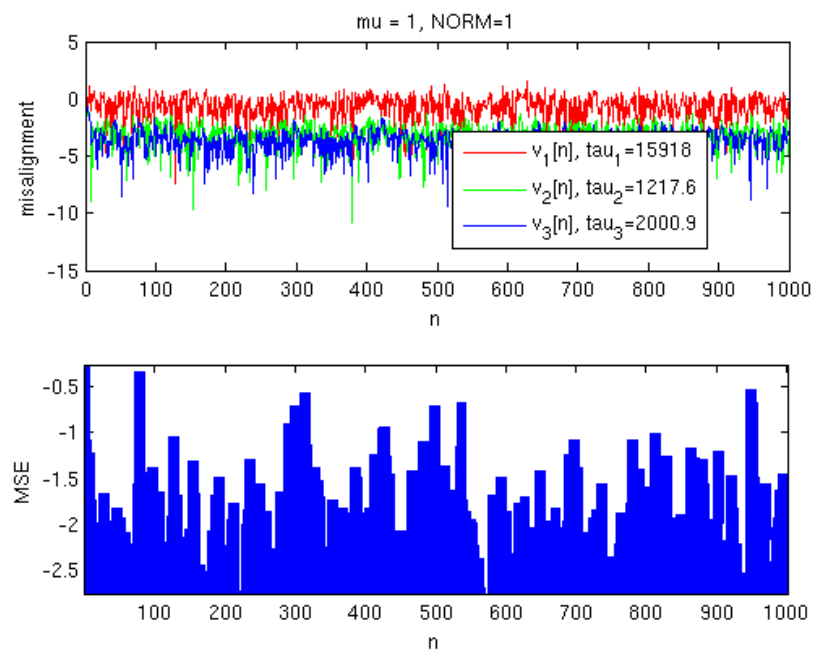


Abbildung 3.8: NLMS,  $\mu = 1$ , zero-mean unit variance white noise input

**b)** In den Plots wird ersichtlich, dass die Konvergenzgeschwindigkeit des LMS von der Varianz des Eingangssingals abhängt. Somit Konvergiert dieser Algorithmus bei einer größeren Varianz von  $\mathbf{x}[n]$  schneller, bzw. bei einer sehr geringen Eingangsvarianz nur sehr gering. Um das ganze noch mit zahlen zu belegen, betrachten wir zunächst wieder die Formel für die Zeitkonstanten:  $\tau_k \approx \frac{1}{\mu \lambda_k}$ . Da es sich wieder um weißes Rauschen handelt, sind alle Eigenwerte  $\lambda_k$  gleich und entsprechen der Varianz. Somit ergibt sich bei einer Eingangsvarianz von 1.5 theoretisch eine Zeitkonstante von  $1/(1.5\mu) \approx 0.666/\mu$ . Diese Werte können sehr gut anhand der Plots abgelesen werden.

Beim NLMS hat die Eingangsvarianz keinen Einfluss da  $\mu$  entsprechend der Eingangsvarianz angepasst wird. Dies ist sehr gut anhand der berechneten Zeitkonstanten in den Abbildungen 3.10 und 3.12 zu sehen.

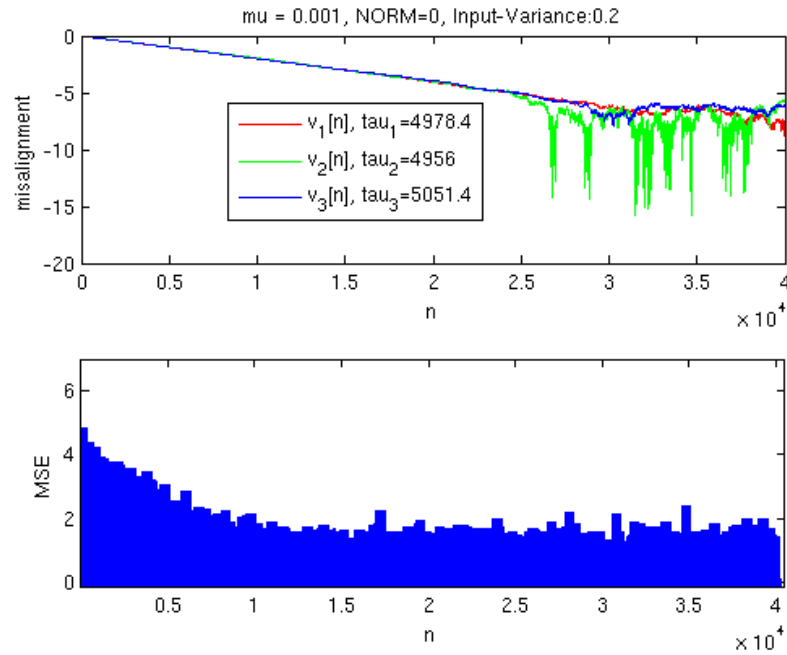
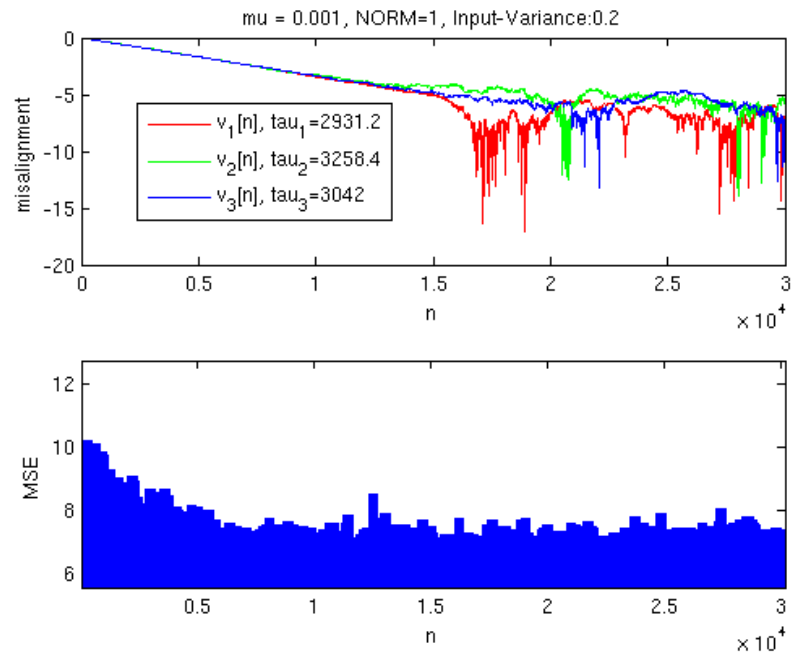
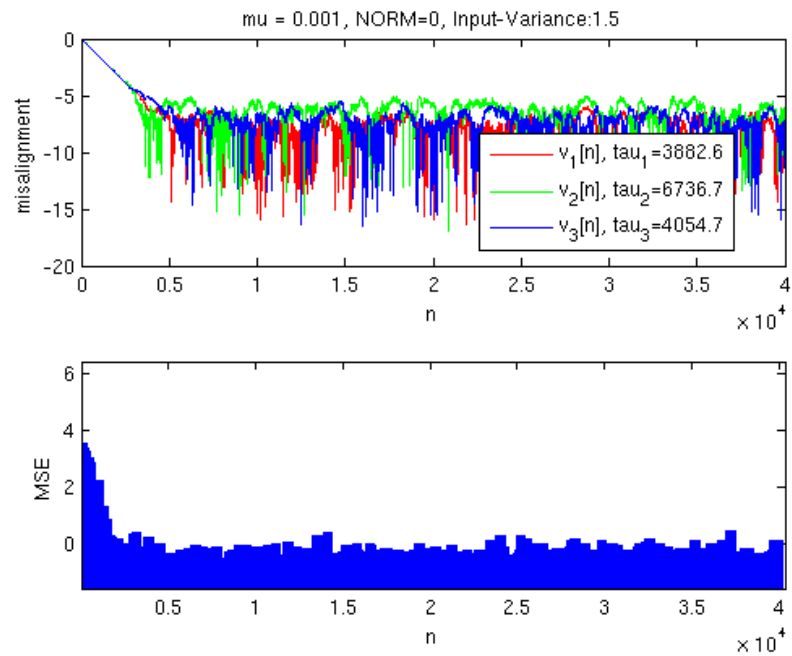
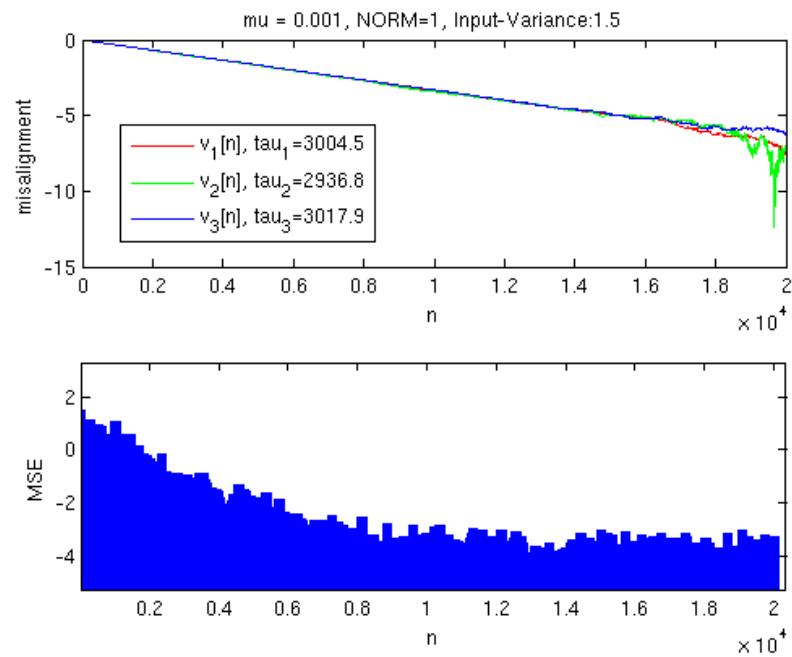
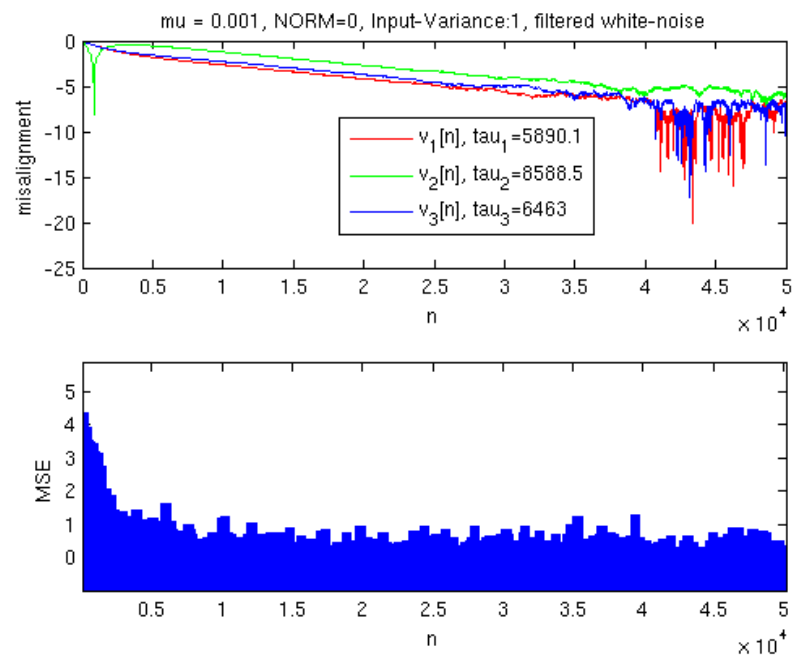


Abbildung 3.9: LMS,  $\mu = 0.001$ , zero-mean white noise input with variance=0.2

**c)** Da das Eingangssignal jetzt kein Weißes Rauschen mehr ist, sind die Eigenwerte von  $\mathbf{R}_{xx}$  nicht mehr gleich. Dadurch konvergieren die Komponenten von  $\mathbf{v}$  unterschiedlich schnell. Der MSE nimmt kontinuierlich ab, bis er den noise-floor erreicht (MMSE + excess-error).

Abbildung 3.10: NLMS,  $\mu = 0.001$ , zero-mean white noise input with variance=0.2Abbildung 3.11: LMS,  $\mu = 0.001$ , zero-mean white noise input with variance=1.5

Abbildung 3.12: NLMS,  $\mu = 0.001$ , zero-mean white noise input with variance=1.5Abbildung 3.13: LMS,  $\mu = 0.001$ , zero-mean white noise input with variance=1, filtered

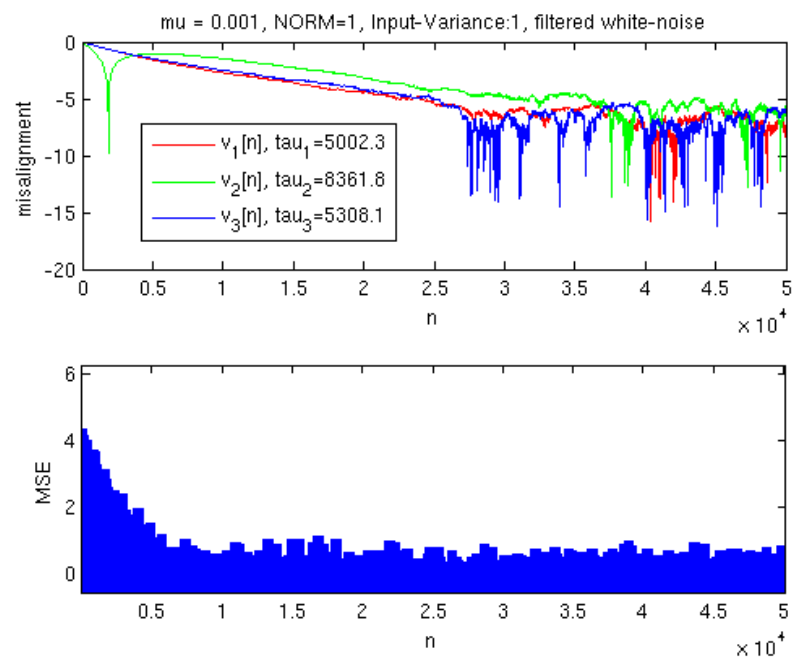


Abbildung 3.14: NLMS,  $\mu = 0.001$ , zero-mean white noise input with variance=1, filtered

- d)** Der MSE nimmt kontinuierlich ab, bis er den noise-floor erreicht (MMSE + excess-error).
- e)** Berechnung des Excess Errors: Wie in der Vorlesung vom 18.11.2011 hergeleitet ergibt sich der Excess Error wie folgt:

$$M \cdot MMSE \quad (3.1)$$

Wobei  $M$  als Misadjustment bezeichnet wird

$$M = \frac{\mu \|\mathbf{x}[\mathbf{n}]\|^2}{2 - \mu \|\mathbf{x}[\mathbf{n}]\|^2} \quad (3.2)$$

Wobei  $\mathbf{x}[\mathbf{n}]\|^2$  Der Varianz des Eingangssingals entspricht.

Das Minimum der Kostenfunktion(=MMSE) (siehe Gleichung 2.7 wurde wie folgt ermittelt:

$$MMSE = \sigma_v^2 - \mathbf{p}^T \mathbf{R}_{xx}^{-1} \mathbf{p} \quad (3.3)$$

Formt man nun die Wiener Hopf Solution auf  $\mathbf{p}$  um so erhält man:  $\mathbf{p} = \mathbf{R}_{xx} \mathbf{h}$ . In die Gleichung 3.3 eingesetzt ergibt das (für white noise!!!):

$$MMSE = \sigma_v^2 - \mathbf{h}^T \mathbf{R}_{xx}^T \mathbf{R}_{xx}^{-1} \mathbf{R}_{xx} \mathbf{h} = \sigma_v^2 - \mathbf{h}^T \mathbf{R}_{xx}^T \mathbf{h} = \sigma_v^2 - \|\mathbf{h}\| \sigma_x^2 \quad (3.4)$$

$$excesserror = MMSE \cdot M \quad (3.5)$$

Nun ergeben sich folgende Werte für den Excesserror in dB:

Eingangs-Varianz $\sigma_x^2$	$\mu = 0.0001$	$\mu = 0.001$	$\mu = 0.01$	$\mu = 1$
1	-44.31	-34.31	-24.31	-4.31
1.5	-40.7786	-30.7786	-20.7786	-0.7786
0.2	-58.4873	-48.4873	-38.4873	-18.4873

Tabelle 3.1: Ermittelten Werte für den Excess-Error in dB beim LMS

Eingangs-Varianz $\sigma_x^2$	$\mu = 0.0001$	$\mu = 0.001$	$\mu = 0.01$	$\mu = 1$
1	-49.0873	-39.0873	-29.0873	-9.0873
1.5	-45.5498	-35.5498	-25.5498	-5.5498
0.2	-63.2585	-53.2585	-43.2585	-23.2585

Tabelle 3.2: Ermittelten Werte für den Excess-Error in dB beim NLMS

Wie bereits erklärt nimmt der Excesserror bei einem kleinerem  $\mu$  ab. Bei einer kleineren Eingangsvarianz ist der Excesserror auch kleiner. Da beim NLMS das effektive  $\mu$  verkleinert wird, ist bei dieser Variante des LMS der Excesserror etwas geringer.

### 3.1 Analytical Problem 2.4: Average Behaviour of the LMS

Zur Berechnung wurde die Struktur aus Abbildung 2 in der Angabe verwendet. Das Eingangssignal  $x[n]$  ist *white*, laut der Angabe zur Abbildung 2 ist das Noise  $\nu[n]$  ebenfalls *white Gaussian noise*, die beiden sind also nicht korreliert und *white*.

Die Lernregel des LMS lautet:

$$\mathbf{c}[n] = \mathbf{c}[n-1] + \mu e[n] \mathbf{x}[n] \quad (3.6)$$

Wir gehen von Konvergenz *on average* aus:

$$E\{\mathbf{c}[n]\} = E\{\mathbf{c}[n-1]\} = E\{\mathbf{c}_\infty\} \quad (3.7)$$

Der Fehler  $e[n]$  ergibt sich zu:

$$e[n] = -\mathbf{v}^T[n-1] \mathbf{x}[n] + \nu[n] \quad (3.8)$$

Setzen wir den Fehler in die Lernregel für LMS ein und wenden den Erwartungswert-Operator an, können wir die Lösung für  $\mathbf{c}_\infty$  berechnen:

$$E\{\mathbf{c}[n]\} = E\{\mathbf{c}[n-1]\} + \mu E\{e[n] \mathbf{x}[n]\} \quad (3.9)$$

$$= E\{\mathbf{c}[n-1]\} - \mu E\{\mathbf{v}^T[n-1] \mathbf{x}[n] \mathbf{x}[n] + \nu[n] \mathbf{x}[n]\} \quad (3.10)$$

$$= E\{\mathbf{c}[n-1]\} - \mu E\{\mathbf{v}^T[n-1] \mathbf{x}[n] \mathbf{x}[n]\} - \mu E\{\nu[n] \mathbf{x}[n]\} \quad (3.11)$$

$$= E\{\mathbf{c}[n-1]\} - \mu E\{(\mathbf{c}^T[n-1] - \mathbf{h}^T) \mathbf{x}[n] \mathbf{x}[n]\} - \mu E\{\nu[n] \mathbf{x}[n]\} \quad (3.12)$$

$$= E\{\mathbf{c}[n-1]\} - \mu E\{\mathbf{c}^T[n-1] \mathbf{x}[n] \mathbf{x}[n] - \mathbf{h}^T \mathbf{x}[n] \mathbf{x}[n]\} - \mu E\{\nu[n] \mathbf{x}[n]\} \quad (3.13)$$

$$= E\{\mathbf{c}[n-1]\} - \mu E\left\{\underbrace{\mathbf{x}[n] \mathbf{x}^T[n]}_{\mathbf{R}_{xx}} \mathbf{c}[n-1] - \underbrace{\mathbf{x}[n] \mathbf{x}^T[n]}_{\mathbf{R}_{xx}} \mathbf{h}\right\} - \mu \underbrace{E\{\nu[n] \mathbf{x}[n]\}}_{\text{both WGN, uncorrelated} \Rightarrow 0} \quad (3.14)$$

$$= E\{\mathbf{c}[n-1]\} - \mu \mathbf{R}_{xx} E\{\mathbf{c}[n-1]\} + \mu \mathbf{R}_{xx} \mathbf{h} \quad (3.15)$$

$$\Rightarrow E\{\mathbf{c}_\infty\} = E\{\mathbf{c}_\infty\} - \mu \mathbf{R}_{xx} E\{\mathbf{c}_\infty\} + \mu \mathbf{R}_{xx} \mathbf{h} \quad (3.16)$$

$$= (\mathbf{I} - \mu \mathbf{R}_{xx}) E\{\mathbf{c}_\infty\} + \mu \mathbf{R}_{xx} \mathbf{h} \quad (3.17)$$

Diese Gleichung wird nun auf  $E\{\mathbf{c}_\infty\}$  umgeformt:

$$E\{\mathbf{c}_\infty\} = (\mathbf{I} - \mu \mathbf{R}_{xx}) E\{\mathbf{c}_\infty\} + \mu \mathbf{R}_{xx} \mathbf{h} \quad (3.18)$$

$$\mu \mathbf{R}_{xx} E\{\mathbf{c}_\infty\} = \mu \mathbf{R}_{xx} \mathbf{h} \quad (3.19)$$

$$E\{\mathbf{c}_\infty\} = \mathbf{R}_{xx}^{-1} \mathbf{R}_{xx} \mathbf{h} \quad (3.20)$$

$$E\{\mathbf{c}_\infty\} = \mathbf{h} \quad (3.21)$$

Die Lösung ist also die gleiche wie die optimale MSE-Lösung.



## 4 Listings

### 4.1 (N)LMS

```

1  function [y,e,c] = n_lms(x,d,N,mu,NORM,c0)
2  % INPUTS:
3  % x ..... input signal vector
4  % d ..... desired output signal (of same length as x)
5  % N ..... number of filter coefficients
6  % mu ..... step size parameter
7  % NORM ... set "1" for NLMS (bias=0), "0" for LMS
8  % c0 ..... initial coefficient vector (optional; default all zeros)
9  % OUTPUTS:
10 % y ..... output signal vector (of same length as x)
11 % e ..... error signal vector (of same length as x)
12 % c ..... coefficient matrix (N rows, number of columns = length of x)
13
14
15 x = x(:);
16 d = d(:);
17
18 if(nargin < 6)
19     c0 = zeros(N,1);
20 end
21
22 y = zeros(length(x),1);
23 e = zeros(length(x),1);
24 c = zeros(N,length(x));
25
26
27 c0 = c0(:);
28
29 c_last = c0;
30
31 for n = 1:length(x)
32     x_taped = x(1:n);
33     if(length(x_taped) <= N)
34         x_taped = [zeros(N-length(x_taped),1); x_taped];
35     else
36         x_taped = x_taped(end-N+1:end);
37     end
38
39     x_taped = flipud(x_taped);
40
41     y(n) = c_last'*x_taped;
42     e(n) = d(n)-y(n);
43
44     if(NORM == 1)
45         factor = norm(x_taped)^2;
46     else
47         factor = 1;
48     end
49
50     c(:,n) = c_last + mu*e(n)*x_taped./factor;
51     c_last = c(:,n);
52 end
53
54
55
56
57 end

```

## 4.2 Performancevergleich (N)LMS

```

1  clc;
2  close all;
3  clear;
4
5
6  h = [0.6;0.2;0.4];
7  noise_variance = 0.008;
8  N = 3;
9  M = 30;
10
11
12
13  for NORM = 0:1
14      for mu = [0.001, 0.01, 1]
15
16          if NORM == 0
17              switch(mu)
18                  case 0.0001
19                      Ns = 60000; % number of samples
20                  case 0.001
21                      Ns = 8000;
22                  case 0.01
23                      Ns = 800;
24                  case 1
25                      Ns = 200;
26              end
27          else
28              switch(mu)
29                  case 0.0001
30                      Ns = 140000; % number of samples
31                  case 0.001
32                      Ns = 20000;
33                  case 0.01
34                      Ns = 2000;
35                  case 1
36                      Ns = 1000;
37              end
38          end
39
40          c = zeros(N, Ns, M);
41          y = zeros(Ns, M);
42          e = zeros(Ns, M);
43
44          for m = 1:M
45              x = randn(1,Ns);
46              d = filter(h,1,x);
47              d = d + sqrt(noise_variance)*randn(size(d));
48
49              [y(:,m),e(:,m),c(:, :,m)] = n_lms(x, d, N, mu, NORM, zeros(N, 1));
50
51          end
52
53          y_mean = mean(y, 2);
54          e_mean = mean(e, 2);
55          c_mean = mean(c, 3);
56
57          v_mean = c_mean - repmat(h, 1, Ns);
58
59          %% plots:
60
61          log_v_mean1 = real(log(v_mean(1,:)./v_mean(1,1)));
62          log_v_mean2 = real(log(v_mean(2,:)./v_mean(2,1)));
63          log_v_mean3 = real(log(v_mean(3,:)./v_mean(3,1)));
64
65
66          log_e_mean = log(e_mean.^2 ./ e_mean(1)^2);
67
68          figure;
69          subplot(2,1,1);
70          plot(0:(Ns-1), log_v_mean1, 'r-');
71          hold on;

```

```

72     plot(0:(Ns-1), log_v_mean2, 'g-');
73     plot(0:(Ns-1), log_v_mean3, 'b-');
74
75
76
77     poly1 = polyfit(0:(Ns/2), log_v_mean1(1:(Ns/2+1)),1);
78     poly2 = polyfit(0:(Ns/2), log_v_mean2(1:(Ns/2+1)),1);
79     poly3 = polyfit(0:(Ns/2), log_v_mean3(1:(Ns/2+1)),1);
80
81     tau1 = -1/poly1(1);
82     tau2 = -1/poly2(1);
83     tau3 = -1/poly3(1);
84
85     legend(['v_1[n]', tau_1=', num2str(tau1,5)], ['v_2[n]', tau_2=',
                                                    num2str(tau2,5)], ['v_3[n]', tau_3=',
                                                    num2str(tau3,5)]];
86
87     title(['mu = ', num2str(mu), ', NORM=', num2str(NORM)]);
88     xlabel('n');
89     ylabel('misalignment');
90
91     subplot(2,1,2);
92     plot(0:(Ns-1), log_e_mean, 'LineWidth', 5);
93     xlabel('n');
94     ylabel('MSE');
95 end
96
97 %%
98 mu = 0.001;
99
100 for NORM = [0:1]
101     for x_var = [0.2, 1.5]
102
103         if NORM == 0
104             switch(x_var)
105                 case 0.2
106                     Ns = 40000;
107                 case 1.5
108                     NS = 6000;
109             end
110         else
111             switch(x_var)
112                 case 0.2
113                     Ns = 30000;
114                 case 1.5
115                     Ns = 20000;
116             end
117         end
118
119         c = zeros(N, Ns, M);
120         y = zeros(Ns, M);
121         e = zeros(Ns, M);
122
123         for m = 1:M
124             x = sqrt(x_var)*randn(1,Ns);
125             d = filter(h,1,x);
126             d = d + sqrt(noise_variance)*randn(size(d));
127
128             [y(:,m),e(:,m),c(:,m)] = n_lms(x, d, N, mu, NORM, zeros(N, 1));
129
130         end
131
132         y_mean = mean(y, 2);
133         e_mean = mean(e, 2);
134         c_mean = mean(c, 3);
135
136         v_mean = c_mean - repmat(h, 1, Ns);
137
138         %% plots:
139
140         log_v_mean1 = real(log(v_mean(1,:)./v_mean(1,1)));
141         log_v_mean2 = real(log(v_mean(2,:)./v_mean(2,1)));
142         log_v_mean3 = real(log(v_mean(3,:)./v_mean(3,1)));

```

```

144
145
146     log_e_mean = log(e_mean.^2 ./ e_mean(1)^2);
147
148     figure;
149     subplot(2,1,1);
150     plot(0:(Ns-1), log_v_mean1, 'r-');
151     hold on;
152     plot(0:(Ns-1), log_v_mean2, 'g-');
153     plot(0:(Ns-1), log_v_mean3, 'b-');
154
155
156     %for calculation of tau just use half of the valuee
157     %(just use the beggining of the curves:
158     poly1 = polyfit(0:(Ns/2), log_v_mean1(1:(Ns/2+1)),1);
159     poly2 = polyfit(0:(Ns/2), log_v_mean2(1:(Ns/2+1)),1);
160     poly3 = polyfit(0:(Ns/2), log_v_mean3(1:(Ns/2+1)),1);
161
162     tau1 = -1/poly1(1);
163     tau2 = -1/poly2(1);
164     tau3 = -1/poly3(1);
165
166     legend(['v_1[n], tau_1=', num2str(tau1,5)], ['v_2[n], tau_2=',
                                                    num2str(tau2,5)], ['v_3[n], tau_3=',
                                                    num2str(tau3,5)]);
167
168     title(['mu = ', num2str(mu), ', NORM=', num2str(NORM), ',
                                                    Input-Variance:', num2str(x_var)]);
169
170     xlabel('n');
171     ylabel('misalignment');
172
173     subplot(2,1,2);
174     plot(0:(Ns-1), log_e_mean, 'LineWidth', 5);
175     xlabel('n');
176     ylabel('MSE');
177
178 end
179
180
181 %%
182 mu = 0.001;
183
184 for NORM = [0,1]
185     for x_var = [1]
186
187         if NORM == 0
188             Ns = 50000;
189         else
190             Ns = 50000;
191         end
192
193
194         c = zeros(N, Ns, M);
195         y = zeros(Ns, M);
196         e = zeros(Ns, M);
197
198         for m = 1:M
199             x = sqrt(x_var)*randn(1,Ns);
200
201             % filter noise:
202             x = filter([0.5 0.5], 1, x);
203
204             d = filter(h,1,x);
205             d = d + sqrt(noise_variance)*randn(size(d));
206
207             [y(:,m),e(:,m),c(:,m)] = n_lms(x, d, N, mu, NORM, zeros(N, 1));
208
209         end
210
211         y_mean = mean(y, 2);
212         e_mean = mean(e, 2);
213         c_mean = mean(c, 3);
214

```

```

215         v_mean = c_mean - repmat(h, 1, Ns);
216
217         %% plots:
218
219         log_v_mean1 = real(log(v_mean(1,:)./v_mean(1,1)));
220         log_v_mean2 = real(log(v_mean(2,:)./v_mean(2,1)));
221         log_v_mean3 = real(log(v_mean(3,:)./v_mean(3,1)));
222
223
224         log_e_mean = log(e_mean.^2 ./ e_mean(1)^2);
225
226         figure;
227         subplot(2,1,1);
228         plot(0:(Ns-1), log_v_mean1, 'r-');
229         hold on;
230         plot(0:(Ns-1), log_v_mean2, 'g-');
231         plot(0:(Ns-1), log_v_mean3, 'b-');
232
233
234         %for calculation of tau just use half of the valuee
235         %(just use the beggining of the curves:
236         poly1 = polyfit(0:(Ns/2), log_v_mean1(1:(Ns/2+1)),1);
237         poly2 = polyfit(0:(Ns/2), log_v_mean2(1:(Ns/2+1)),1);
238         poly3 = polyfit(0:(Ns/2), log_v_mean3(1:(Ns/2+1)),1);
239
240         tau1 = -1/poly1(1);
241         tau2 = -1/poly2(1);
242         tau3 = -1/poly3(1);
243
244         legend(['v_1[n], tau_1=', num2str(tau1,5)], ['v_2[n], tau_2=',
245                                                         num2str(tau2,5)], ['v_3[n], tau_3=',
246                                                         num2str(tau3,5)]);
247
248         title(['mu = ', num2str(mu), ', NORM=', num2str(NORM), ',
249                                                         Input-Variance:', num2str(x_var), ',
250                                                         filtered white-noise']);
251
252         xlabel('n');
253         ylabel('misalignment');
254
255         subplot(2,1,2);
256         plot(0:(Ns-1), log_e_mean, 'LineWidth', 5);
257         xlabel('n');
258         ylabel('MSE');
259     end
260 end

```